

KG1

Dichte	
ρ [g/cm ³]	2,52

Bemerkungen

Ionengefärbtes Glas
Kurzpassfilter
Wärmeschutzfilter

Reflexionsfaktor	
P_d	0,920

Blasenhaltigkeit	
Blasenklasse	3

Referenzdicke	
d [mm]	2

Chemische Haltbarkeit	
FR Klasse	0
SR Klasse	2.0
AR Klasse	3.0

Spektrale Garantiewerte		
τ_i (365nm)	\geq	0.89
τ_i (500nm)	\geq	0.92
τ_i (600nm)	\geq	0.88
τ_i (700nm)	\leq	0.68
τ_i (800nm)	\leq	0.33
τ_i (900nm)	\leq	0.1
τ_i (1060nm)	\leq	0.02
τ_i (2200nm)	\leq	0.06

Transformationstemperatur	
T_g [°C]	599

Brechzahl n	
n_i (365.0 nm) = 1.530	
n_d (587.6 nm) = 1.520	

Wärmeausdehnung	
$\alpha_{30/+70^\circ\text{C}}$ [10 ⁻⁶ /K]	5,3
$\alpha_{20/300^\circ\text{C}}$ [10 ⁻⁶ /K]	6,1
$\alpha_{20/200^\circ\text{C}}$ [10 ⁻⁶ /K]	

Temperaturkoeffizient	
T_K [nm/°C]	

☁
Langzeitveränderungen des polierten Glases sind unter Umständen möglich.

☀
Transmissionsänderungen sind durch Einwirkung starker ultravioletter Strahlung möglich.

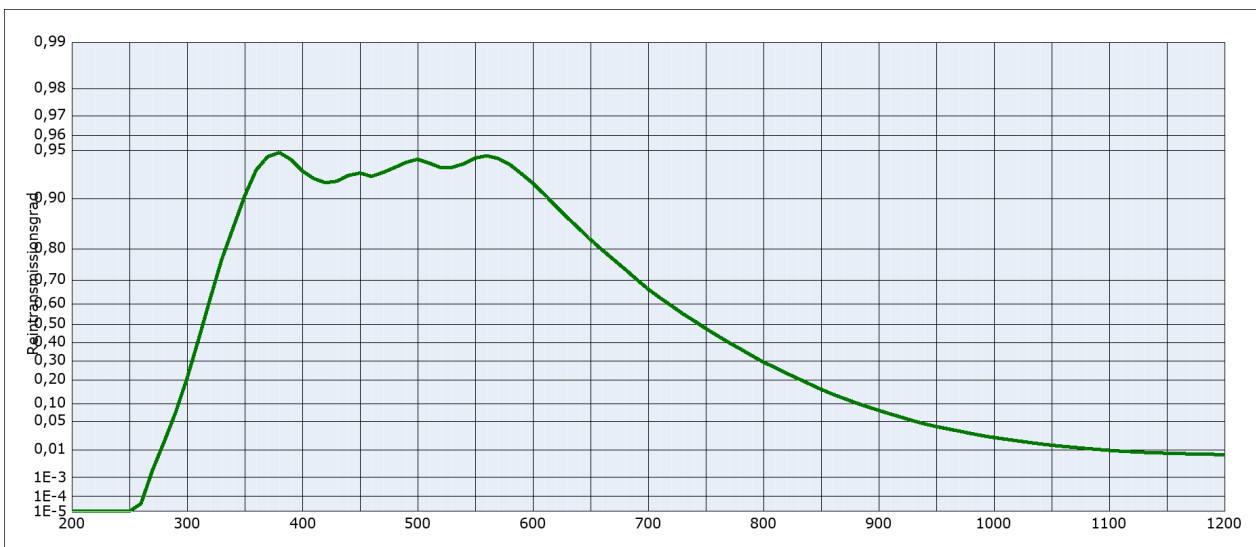
**Alle Angaben ohne Toleranzen sind als Richtwerte zu verstehen.
Spezifizierte Werte sind lediglich die unter "Spektrale Garantiewerte" aufgeführten Angaben.**

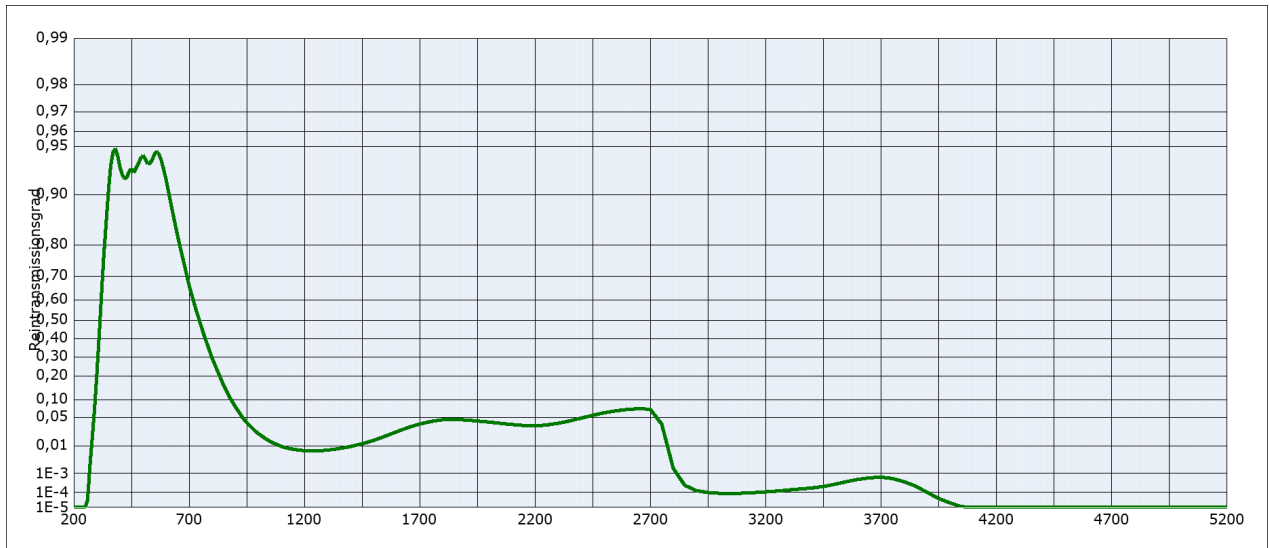
Farbmimetrische Auswertung

Lichtart	A (Planck T = 2856 K)		
	1	2	3
d [mm]			
x	0,444	0,441	0,438
y	0,409	0,411	0,413
Y	88	85	82
λ_d [nm]	505	505	505
P_e	0,01	0,01	0,02

Lichtart	Planck T = 3200 K		
	1	2	3
d [mm]			
x	0,420	0,417	0,415
y	0,401	0,402	0,404
Y	88	85	82
λ_d [nm]	503	504	504
P_e	0,01	0,01	0,02

Lichtart	D65 (T _c = 6504 K)		
	1	2	3
d [mm]			
x	0,311	0,309	0,307
y	0,330	0,331	0,332
Y	89	86	83
λ_d [nm]	497	497	498
P_e	0,01	0,01	0,02





Reintransmissionsgrad τ_i bei der Referenzdicke $d = 2 \text{ mm}$
Die Reintransmissionsgrade, tabellarisch und graphisch, sind als Richtwerte zu verstehen.

λ [nm]	τ_i	λ [nm]	τ_i	λ [nm]	τ_i	λ [nm]	τ_i	λ [nm]	τ_i	λ [nm]	τ_i
200	$< 10^{-5}$	500	0,943	800	0,294	1100	$9,9 \cdot 10^{-3}$	2200	$3,4 \cdot 10^{-2}$	3700	$6,6 \cdot 10^{-4}$
210	$< 10^{-5}$	510	0,940	810	0,265	1110	$9,4 \cdot 10^{-3}$	2250	$3,5 \cdot 10^{-2}$	3750	$5,7 \cdot 10^{-4}$
220	$< 10^{-5}$	520	0,936	820	0,235	1120	$9,0 \cdot 10^{-3}$	2300	$3,8 \cdot 10^{-2}$	3800	$4,0 \cdot 10^{-4}$
230	$< 10^{-5}$	530	0,936	830	0,208	1130	$8,6 \cdot 10^{-3}$	2350	$4,3 \cdot 10^{-2}$	3850	$2,4 \cdot 10^{-4}$
240	$< 10^{-5}$	540	0,940	840	0,182	1140	$8,4 \cdot 10^{-3}$	2400	$4,9 \cdot 10^{-2}$	3900	$1,0 \cdot 10^{-4}$
250	$< 10^{-5}$	550	0,944	850	0,158	1150	$8,2 \cdot 10^{-3}$	2450	$5,5 \cdot 10^{-2}$	3950	$4,2 \cdot 10^{-5}$
260	$3,5 \cdot 10^{-5}$	560	0,946	860	0,138	1160	$8,0 \cdot 10^{-3}$	2500	$6,2 \cdot 10^{-2}$	4000	$2,1 \cdot 10^{-5}$
270	$2,0 \cdot 10^{-3}$	570	0,944	870	0,121	1170	$7,7 \cdot 10^{-3}$	2550	$6,7 \cdot 10^{-2}$	4050	$1,1 \cdot 10^{-5}$
280	$1,7 \cdot 10^{-2}$	580	0,939	880	0,105	1180	$7,6 \cdot 10^{-3}$	2600	$7,1 \cdot 10^{-2}$	4100	$< 10^{-5}$
290	$7,3 \cdot 10^{-2}$	590	0,930	890	$9,1 \cdot 10^{-2}$	1190	$7,5 \cdot 10^{-3}$	2650	$7,3 \cdot 10^{-2}$	4150	$< 10^{-5}$
300	0,210	600	0,920	900	$8,0 \cdot 10^{-2}$	1200	$7,3 \cdot 10^{-3}$	2700	$7,1 \cdot 10^{-2}$	4200	$< 10^{-5}$
310	0,419	610	0,906	910	$6,9 \cdot 10^{-2}$	1250	$7,2 \cdot 10^{-3}$	2750	$3,7 \cdot 10^{-2}$	4250	$< 10^{-5}$
320	0,622	620	0,889	920	$6,0 \cdot 10^{-2}$	1300	$7,6 \cdot 10^{-3}$	2800	$1,6 \cdot 10^{-3}$	4300	$< 10^{-5}$
330	0,769	630	0,869	930	$5,2 \cdot 10^{-2}$	1350	$8,5 \cdot 10^{-3}$	2850	$2,5 \cdot 10^{-4}$	4350	$< 10^{-5}$
340	0,850	640	0,848	940	$4,5 \cdot 10^{-2}$	1400	$9,8 \cdot 10^{-3}$	2900	$1,3 \cdot 10^{-4}$	4400	$< 10^{-5}$
350	0,904	650	0,823	950	$4,0 \cdot 10^{-2}$	1450	$1,2 \cdot 10^{-2}$	2950	$9,9 \cdot 10^{-5}$	4450	$< 10^{-5}$
360	0,934	660	0,797	960	$3,5 \cdot 10^{-2}$	1500	$1,5 \cdot 10^{-2}$	3000	$8,9 \cdot 10^{-5}$	4500	$< 10^{-5}$
370	0,946	670	0,769	970	$3,2 \cdot 10^{-2}$	1550	$1,9 \cdot 10^{-2}$	3050	$8,6 \cdot 10^{-5}$	4550	$< 10^{-5}$
380	0,949	680	0,738	980	$2,8 \cdot 10^{-2}$	1600	$2,5 \cdot 10^{-2}$	3100	$9,0 \cdot 10^{-5}$	4600	$< 10^{-5}$
390	0,943	690	0,702	990	$2,5 \cdot 10^{-2}$	1650	$3,1 \cdot 10^{-2}$	3150	$9,7 \cdot 10^{-5}$	4650	$< 10^{-5}$
400	0,933	700	0,664	1000	$2,2 \cdot 10^{-2}$	1700	$3,7 \cdot 10^{-2}$	3200	$1,1 \cdot 10^{-4}$	4700	$< 10^{-5}$
410	0,925	710	0,628	1010	$2,0 \cdot 10^{-2}$	1750	$4,2 \cdot 10^{-2}$	3250	$1,2 \cdot 10^{-4}$	4750	$< 10^{-5}$
420	0,921	720	0,592	1020	$1,8 \cdot 10^{-2}$	1800	$4,6 \cdot 10^{-2}$	3300	$1,4 \cdot 10^{-4}$	4800	$< 10^{-5}$
430	0,922	730	0,553	1030	$1,7 \cdot 10^{-2}$	1850	$4,6 \cdot 10^{-2}$	3350	$1,6 \cdot 10^{-4}$	4850	$< 10^{-5}$
440	0,928	740	0,517	1040	$1,5 \cdot 10^{-2}$	1900	$4,5 \cdot 10^{-2}$	3400	$1,8 \cdot 10^{-4}$	4900	$< 10^{-5}$
450	0,931	750	0,477	1050	$1,4 \cdot 10^{-2}$	1950	$4,3 \cdot 10^{-2}$	3450	$2,2 \cdot 10^{-4}$	4950	$< 10^{-5}$
460	0,927	760	0,439	1060	$1,3 \cdot 10^{-2}$	2000	$4,1 \cdot 10^{-2}$	3500	$2,9 \cdot 10^{-4}$	5000	$< 10^{-5}$
470	0,931	770	0,401	1070	$1,2 \cdot 10^{-2}$	2050	$3,8 \cdot 10^{-2}$	3550	$3,9 \cdot 10^{-4}$	5050	$< 10^{-5}$
480	0,936	780	0,366	1080	$1,1 \cdot 10^{-2}$	2100	$3,6 \cdot 10^{-2}$	3600	$5,1 \cdot 10^{-4}$	5100	$< 10^{-5}$
490	0,941	790	0,329	1090	$1,1 \cdot 10^{-2}$	2150	$3,4 \cdot 10^{-2}$	3650	$6,1 \cdot 10^{-4}$	5150	$< 10^{-5}$